



Международная конференция  
XVI Забабахинские научные чтения  
г. Снежинск, РФЯЦ-ФНИИТФ, 2023

Татьяна Геннадьевна Елизарова

## О регуляризованных уравнениях газовой динамики и их приложениях к численным расчетам

Институт прикладной математики им. М.В. Келдыша РАН

[telizar@mail.ru](mailto:telizar@mail.ru)

<http://elizarova.imamod.ru/>

# План доклада

- 1. Квазигазодинамические уравнения, метод описания газодинамических течений
- 2. Пример моделирования взаимодействия вихревого течения с ударной волной
- 3. Модель для описания течений смеси газов на примере задачи о взаимодействии пузырька с ударной волной
- Заключительные замечания

# История развития КГД подхода

1982 - КГД система выведена из уравнения Больцмана



1997 - КГД система выписана в виде законов сохранения



КГД системы уравнений развиваются в стенах ИПМ им. М.В. Келдыша более 20 лет и могут применяться для моделирования различных течений  
<https://keldysh.ru/>

# Система уравнений газовой динамики в виде законов сохранения

$$\left\{ \begin{array}{l} \frac{\partial \rho}{\partial t} + \operatorname{div} \mathbf{j}_m = 0 \\ \frac{\partial \rho \mathbf{u}}{\partial t} + \operatorname{div}(\mathbf{j}_m \otimes \mathbf{u}) + \nabla p = \operatorname{div} \Pi \\ \frac{\partial E}{\partial t} + \operatorname{div} \left[ \frac{\mathbf{j}_m}{\rho} (E + p) \right] + \operatorname{div} \mathbf{q} = \operatorname{div} (\Pi \mathbf{u}) \end{array} \right.$$

Здесь

$\rho$  – плотность среды,

$\mathbf{u}$  – газодинамическая скорость,

$p$  – давление,

$E$  – полная энергия,

$\mathbf{j}_m$  – вектор плотности потока массы,

$\Pi$  – тензор вязких напряжений,

$\mathbf{q}$  – вектор теплового потока

$\mathbf{j}$ ,  $\mathbf{P}$  и  $\mathbf{q}$  следует выбрать таким образом, чтобы система уравнений газовой динамики являлась диссипативной и для нее были справедливы законы сохранения:

- массы
- импульса
- полной энергии
- момента импульса

Для уравнений газовой динамики должен выполняться второй закон термодинамики в виде теоремы о балансе энтропии

## Традиционный способ замыкания - Система уравнений Навье-Стокса

$$\mathbf{j}_m^{NS} = \rho \mathbf{u}$$

$$\Pi_{NS} = \mu \left[ (\nabla \otimes \mathbf{u}) + (\nabla \otimes \mathbf{u})^T - \frac{2}{3} \operatorname{div} \mathbf{u} \right] + \xi I \operatorname{div} \mathbf{u}$$

$$\mathbf{q}_{NS} = -\kappa \nabla T$$

## Уравнение баланса энтропии $s$

$$\frac{\partial}{\partial t}(\rho s) + \operatorname{div}(\mathbf{j}_m s) = -\operatorname{div}\left(\frac{\mathbf{q}}{T}\right) + X$$

$$X = \kappa \left(\frac{\nabla T}{T}\right)^2 + \frac{(\Pi_{NS} : \Pi_{NS})}{2\mu T},$$

где

$$(\Pi_{NS} : \Pi_{NS}) = \sum_{i,j=1}^3 \Pi_{ij}^{NS} \Pi_{ij}^{NS}$$

**Попытки расширить возможности системы уравнений Навье-Стокса и построить новые вычислительные алгоритмы вызывают постоянный интерес исследователей**

**Квазигазодинамические уравнения и другие модели – семейство так называемых двухскоростных (“two-velocity”) гидродинамических моделей**

**$U$  – скорость, связанная с переносом импульса жидкой частицы**

**$J/\rho$  – скорость, связанная с переносом массы**

**Работы Н.А.Слезкина и С.В.Валландера (1951), Ю.Л.Климонтовича (1992), Б.В.Алексеева (1997), Brenner (2004), Ottinger (2005), Streater (2006) ... и наши работы начиная с 1992 г.**



# Нетрадиционный способ замыкания - Система квазигазодинамических (КГД) уравнений

$$\mathbf{j}_m \neq \rho \mathbf{u}$$

$$\mathbf{j}_m = \rho (\mathbf{u} - \mathbf{w})$$

$$\Pi = \Pi_{NS} + \Pi_{QGD}$$

$$\mathbf{q} = \mathbf{q}_{NS} + \mathbf{q}_{QGD}$$

*Как  
найти  
добавки?*

Представляя уравнения в виде законов сохранения, получаем вид добавок для КГД уравнений

$$\mathbf{j}_m = \mathbf{j}_{NS} - \tau (\operatorname{div}(\rho \mathbf{u} \otimes \mathbf{u}) + \nabla p)$$

$$\begin{aligned} \Pi = & \Pi_{NS} + \tau \mathbf{u} \otimes [\rho (\mathbf{u} \cdot \nabla) \mathbf{u} + \nabla p] + \\ & + \tau I [(\mathbf{u} \cdot \nabla) p + \gamma p \operatorname{div} \mathbf{u}] \end{aligned}$$

$$\mathbf{q} = \mathbf{q}_{NS} - \tau \rho \mathbf{u} \left[ (\mathbf{u} \cdot \nabla) \varepsilon + p (\mathbf{u} \cdot \nabla) \left( \frac{1}{\rho} \right) \right]$$

## Уравнение баланса энтропии $s$

$$\frac{\partial}{\partial t}(\rho s) + \operatorname{div}(\mathbf{j}_m s) = -\operatorname{div}\left(\frac{\mathbf{q}}{T}\right) + X$$

$$X = \kappa \left(\frac{\nabla T}{T}\right)^2 + \frac{(\Pi_{NS} : \Pi_{NS})}{2\mu T} + \frac{p\tau}{\rho^2 T} [\operatorname{div}(\rho \mathbf{u})]^2 +$$
$$+ \frac{\tau}{\rho T} [\rho(\mathbf{u} \cdot \nabla) \mathbf{u} + \nabla p]^2 + \frac{\tau}{\rho \varepsilon T} [\rho(\mathbf{u} \cdot \nabla) \varepsilon + p \operatorname{div} \mathbf{u}]^2,$$

где

$$(\Pi_{NS} : \Pi_{NS}) = \sum_{i,j=1}^3 \Pi_{ij}^{NS} \Pi_{ij}^{NS}$$

- Уравнение неразрывности:

$$\frac{\partial \rho}{\partial t} + \nabla \cdot \vec{j}_m = 0, \quad \vec{j}_m = \rho (\vec{U} - \vec{w}), \quad \vec{w} = \frac{\tau}{\rho} \left( \nabla \cdot (\rho \vec{U} \otimes \vec{U}) + \nabla p \right)$$

- Уравнение импульса:  $\frac{\partial \rho \vec{U}}{\partial t} + \nabla \cdot (\vec{j}_m \otimes \vec{U}) + \nabla p = \nabla \cdot \hat{\Pi},$

$$\hat{\Pi} = \hat{\Pi}_{NS} + \tau \vec{U} \otimes \left( \rho (\vec{U} \cdot \nabla) \vec{U} + \nabla p \right) + \tau \hat{I} \left( (\vec{U} \cdot \nabla) p + \gamma p \nabla \vec{U} \right)$$

$$\hat{\Pi}_{NS} = \mu \left( (\nabla \otimes \vec{U}) + (\nabla \otimes \vec{U})^T - \frac{2}{3} \hat{I} \operatorname{div} \vec{U} \right)$$

- Уравнение энергии:  $\frac{\partial \rho e}{\partial t} + \nabla \cdot \left( \vec{j}_m \left( e + \frac{p}{\rho} \right) \right) = \nabla \cdot (\hat{\Pi} \cdot \vec{U}) - \nabla \vec{q}$   
 $\vec{q} = \vec{q}_{NS} - \tau \rho \vec{U} \left( (\vec{U} \cdot \nabla) \vec{U} + p (\vec{U} \cdot \nabla) \frac{1}{\rho} \right)$

- Идеальный газ:  $p = \rho RT, \quad u = e - \frac{1}{2} \vec{U} \cdot \vec{U}$

# Параметр регуляризации

Значение коэффициента  $\tau$  выбирается равным или меньше, чем некоторое характерное время, зависящее от скорости звука  $c$  и шага пространственной сетки  $\Delta x$  :

$$\begin{aligned} \tau &= \frac{\mu}{pSc} \approx \frac{\lambda}{c} & \mu &= \mu_0 \left( \frac{T}{T_0} \right)^\omega \approx p\tau Sc & \kappa &= \frac{\mu\gamma R}{Pr(\gamma-1)} \\ \lambda &\rightarrow \Delta x & \mu^{QGD} &= p\tau Sc^{QGD} & \kappa^{QGD} &= \frac{\mu^{QGD}\gamma R}{Pr^{QGD}(\gamma-1)} \\ \tau &= \alpha^{QGD} \frac{\Delta x}{c} \end{aligned}$$

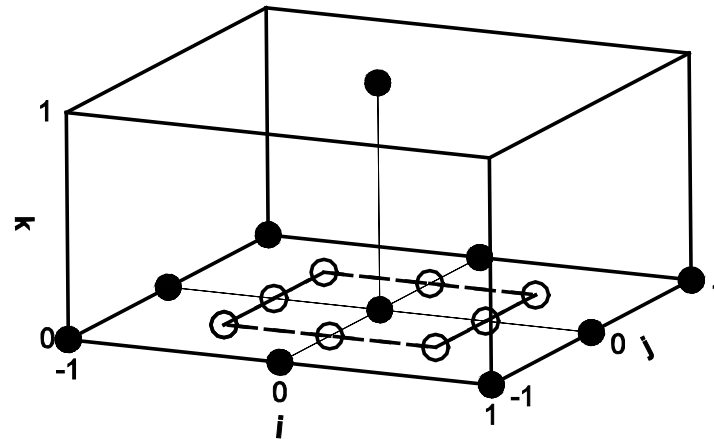
Шаг по времени выбирается в соответствии с условием Куранта

$$\Delta t < \beta\tau, \quad \beta \approx 0.5$$

# Численный алгоритм

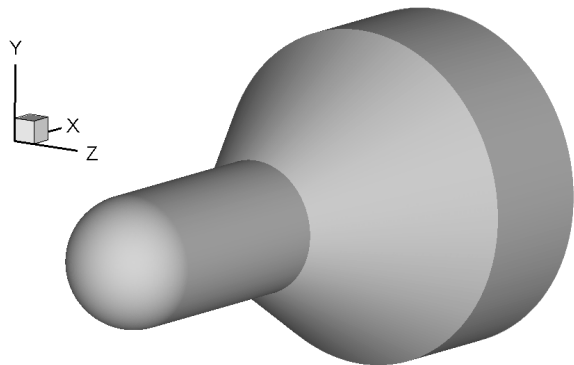
- КГД система – более сложная, чем система НС
- При  $\tau=0$  получаем уравнения НС
- При малых  $\tau$  получаем дополнительную вязкость – бесплатный регуляризатор
- Практические преимущества – простой и однородный численный алгоритм для расчета широкого круга задач – в частности, явная разностная схема с центральными разностями
- Алгоритм хорошо распараллеливается
- Нежесткое условие на шаг по времени

# Разностная аппроксимация на прямоугольных сетках



- Для решения начально-краевой задачи используется явная по времени разностная схема. Пространственные производные аппроксимируются центральными разностями со вторым порядком точности, производные по времени – разностями вперед с первым порядком.
- 3D случай – шаблон из 27 точек.

# Постановка задачи моделирования обтекания модели летательного аппарата (Houtman et al, 1995) - Широков И.А. МГУ



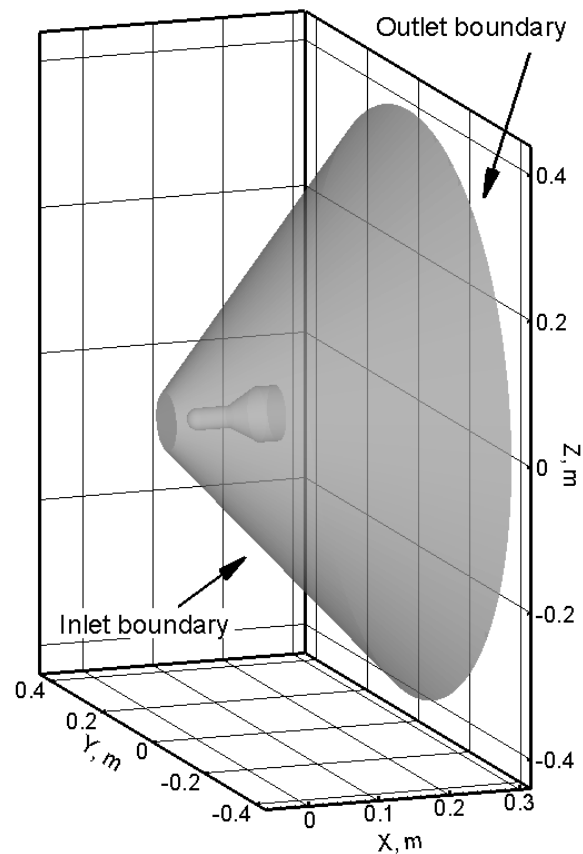
Модель: общий вид

Число Маха:  $Ma = 3$ ,  $Ma = 4$

Число Рейнольдса, вычисленное по длине модели  $L=0.127$  м:

$Re = 6 \cdot 10^6$ ,  $Re = 7.6 \cdot 10^6$

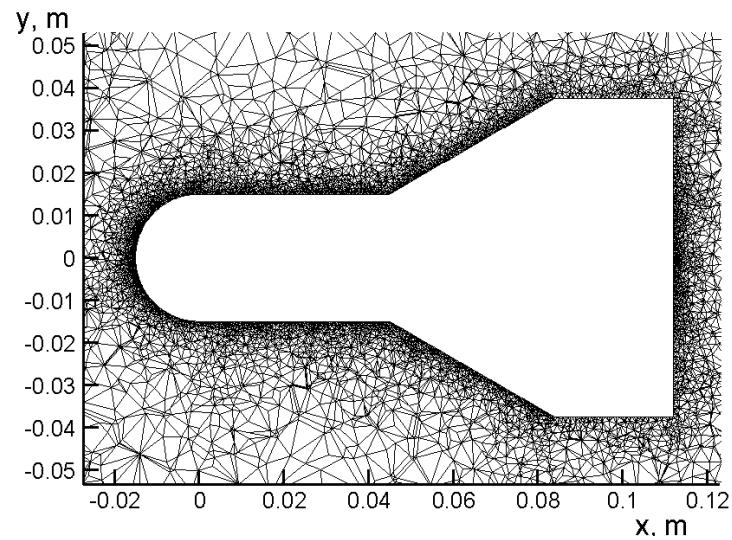
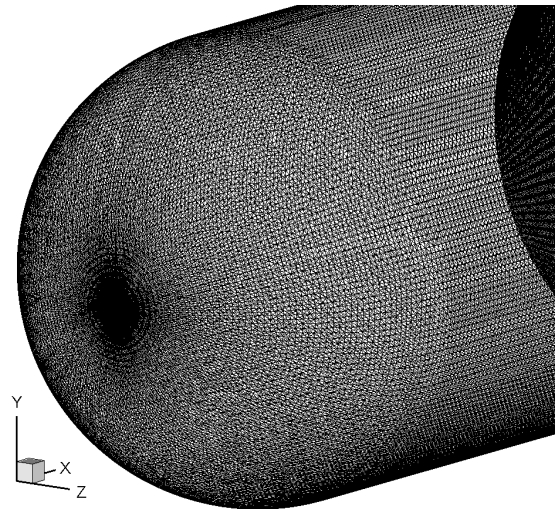
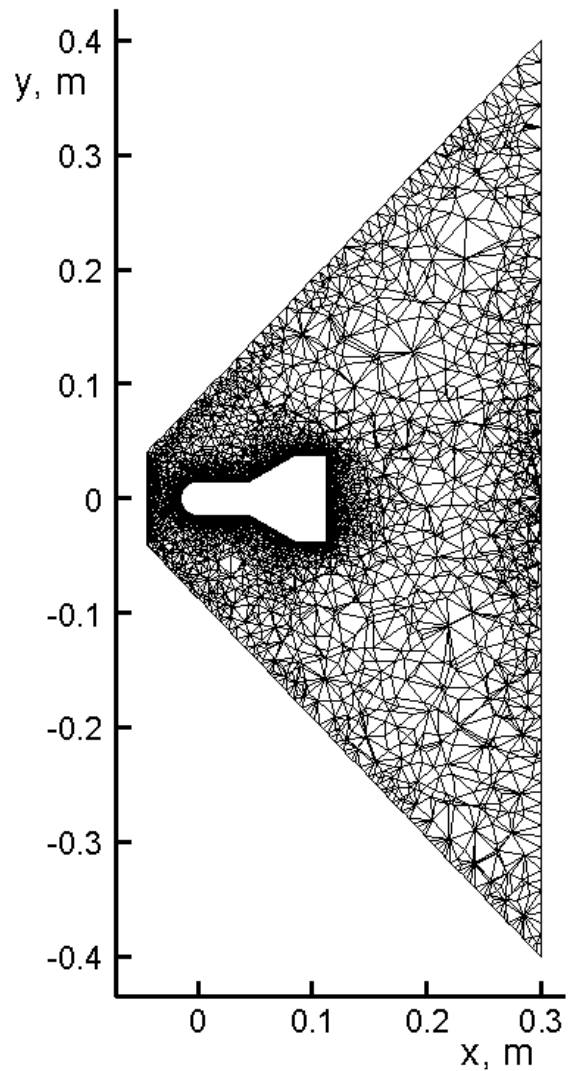
Угол атаки  $10^\circ$ ,  $20^\circ$



Расчетная область

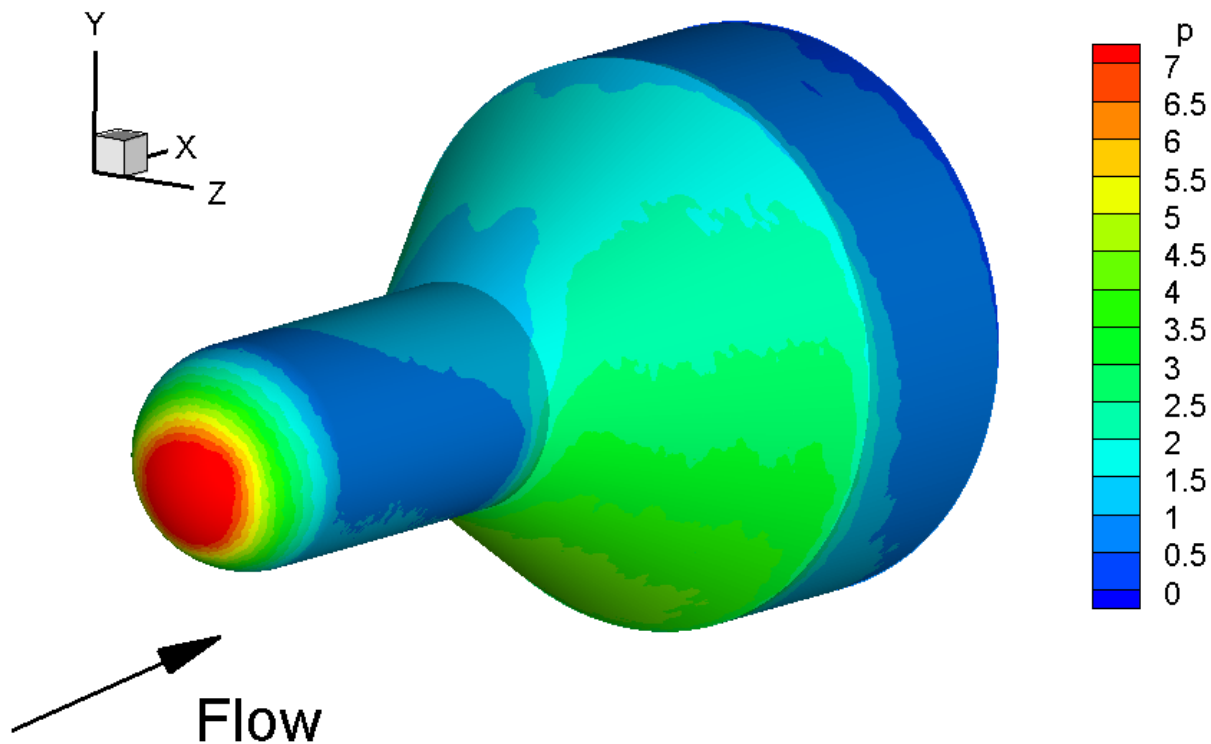


# Расчетная сетка для модели ЛА, построенная с помощью пакета TetGen



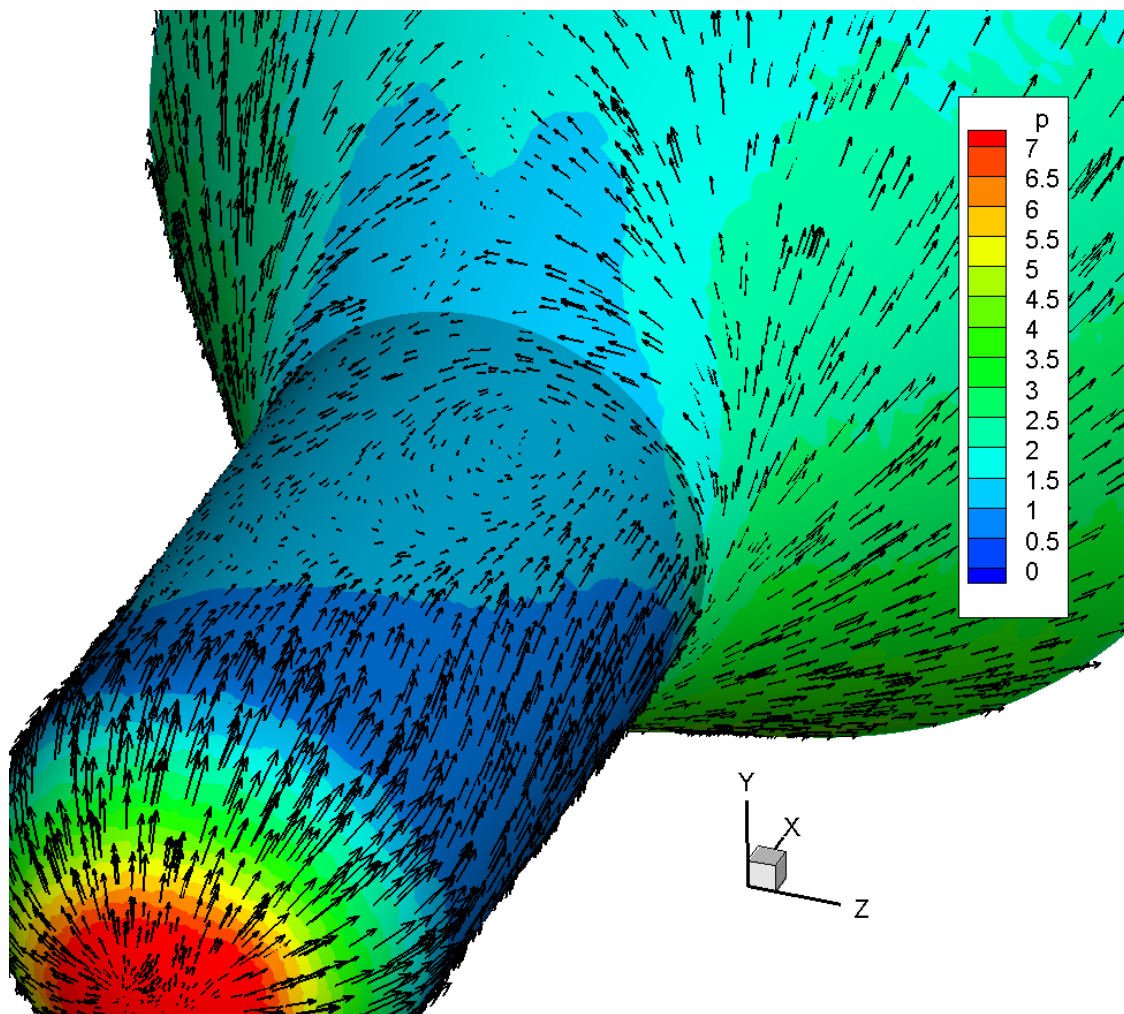
# Результаты моделирования при $Ma=3$ , $Re=6 \cdot 10^6$ , угол атаки $AoA=10^\circ$

Распределение безразмерного давления по поверхности модели ЛА



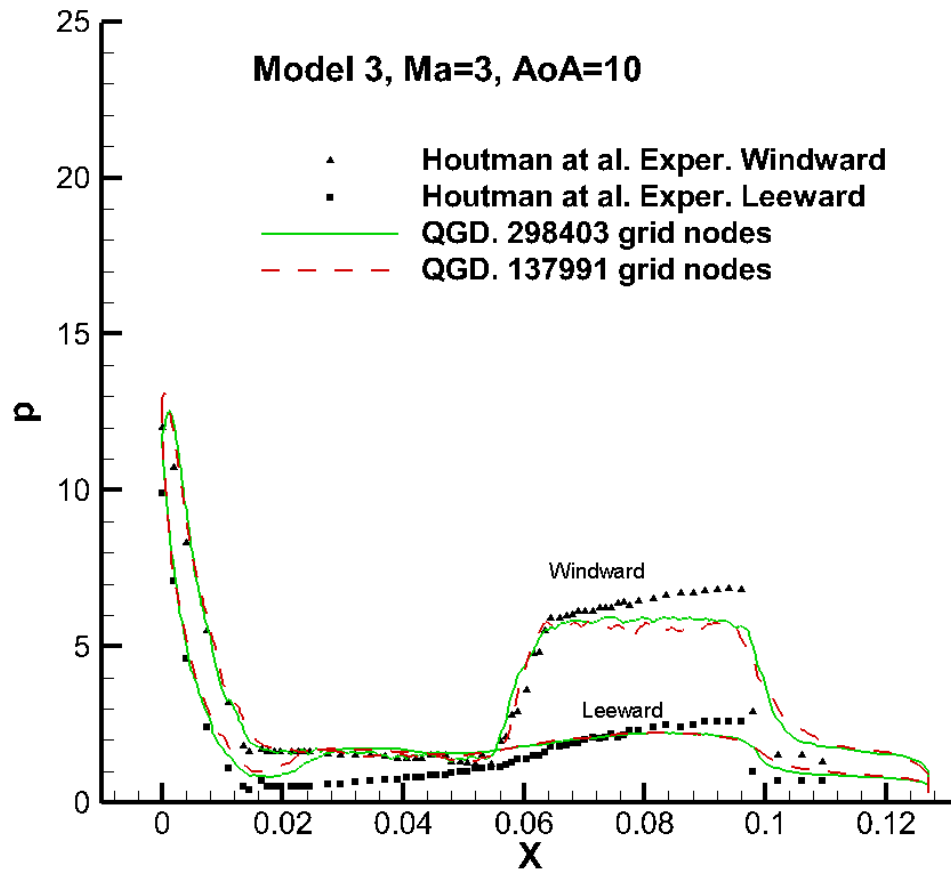
# Результаты моделирования при $Ma=3$ , $Re=6 \cdot 10^6$ , угол атаки $AoA=10^\circ$

Распределение безразмерного давления и векторы скорости на поверхности модели ЛА



# Результаты моделирования при $Ma=3$ , $Re=6 \cdot 10^6$ , угол атаки $AoA=10^\circ$

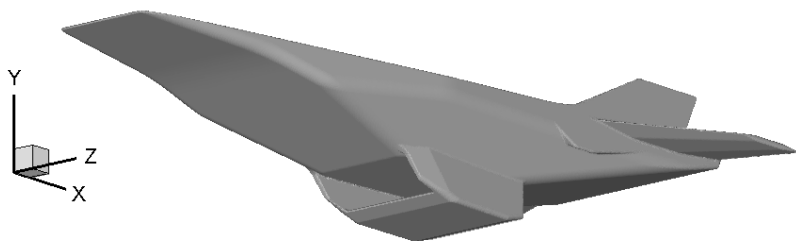
Распределение давления по поверхности модели ЛА в плоскости симметрии  $Z=0$  (линии). По оси ординат отложено отношение давления на поверхности к начальному давлению. Координата  $X$  указана в метрах.



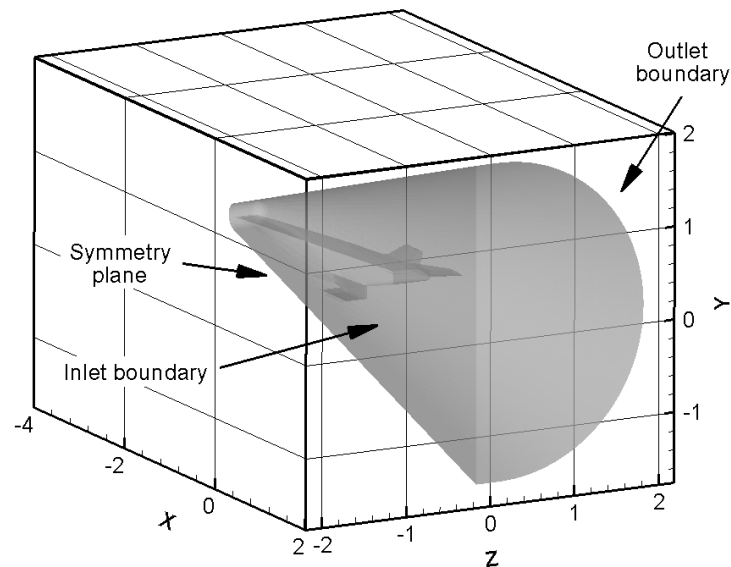
Сравнение с результатами эксперимента (Houtman et al, 1995, символы).

Исследование сходимости по сетке (зеленая линия показывает результаты, полученные на более подробной сетке, а красная на менее подробной).

# Постановка задачи моделирования обтекания ГЛА Х-43



Модель: общий вид



Расчетная область

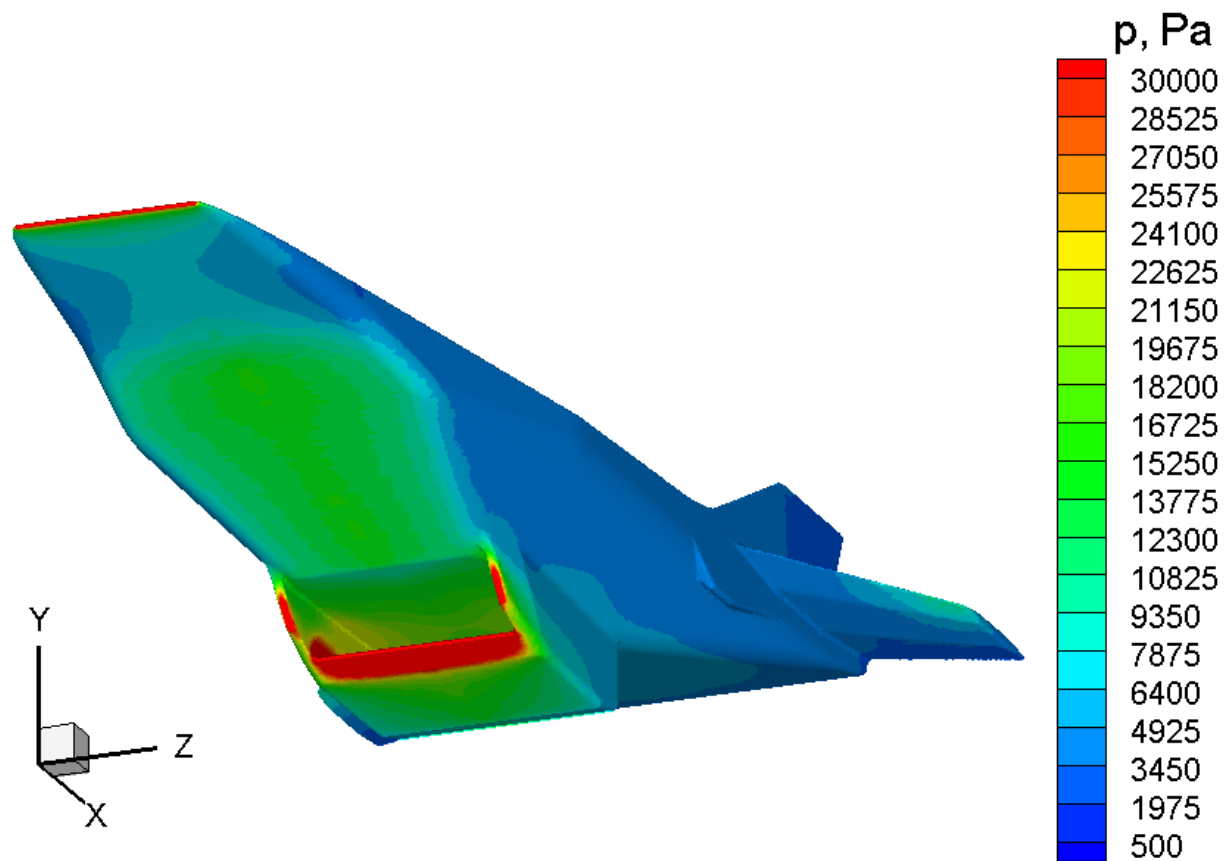
Число Маха  $Ma = 7$

Число Рейнольдса  $Re = 3.1 \cdot 10^6$

Угол атаки  $2^\circ$

Высота полета  $H = 29$  км

# Распределение давления по поверхности модели X-43



# Включение КГД алгоритма в открытый программный комплекс OpenFOAM

Борис Николаевич Четверушкин,  
Виктор Петрович Иванников,  
Арутюн Ишханович Аветисян

**OpenFOAM - Open Source Field Operation And Manipulation** - динамично развивающееся открытое программное обеспечение для моделирования задач механики сплошных сред, в основе метод конечного объема FVM.

**В** открытом доступе с 2004 г. на условиях GPL лицензии.

**FOAM – предшественник OpenFOAM.**

**Разработан в Imperial College of Science. London. UK. 1991-2003 (H. Weller and H. Jasak)**

**Основная версия [www.openfoam.org](http://www.openfoam.org).**



UniHUB 2.0: <http://desktop.weblab.cloud.unihub.ru/login>

Институт системного программирования  
им. В.П. Иванникова РАН

# Включение КГД алгоритма в программный комплекс OpenFOAM

## Иерархия решателей в OpenFOAM

Классы решателей OpenFOAM	Прямое численное моделирование
	Простейшие уравнения
	Задачи горения
	<b>Сжимаемые течения</b>
	Дискретные методы
	Электромагнетизм
	Экономические задачи
	<b>Тепло- и массообмен</b>
	<b>Несжимаемые течения</b>
	Течения жидкости с учетом движения отдельных частиц
<b>Многофазные течения</b>	
Задачи прочности	

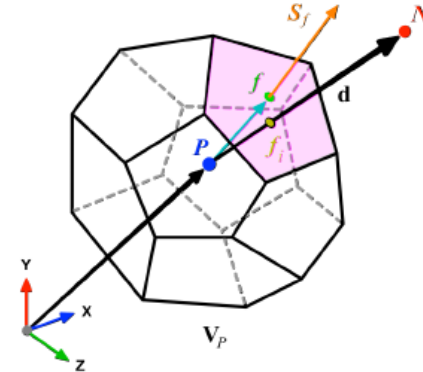
Неструктурированные 3D подвижные сетки

Распараллеливание алгоритма

Использование современных мощных многопроцессорных комплексов

Подключения моделей турбулентности

## FVM – метод конечного объема



## Теорема Остроградского-Гаусса

$$\int_V \nabla \cdot \mathbf{a} dV = \oint_{\partial V} d\mathbf{S} \cdot \mathbf{a}$$

$$\langle \mathbf{a} \rangle = \frac{1}{V} \int_V \mathbf{a} dV$$

$$(\nabla \cdot \mathbf{a})_o \approx \langle \nabla \cdot \mathbf{a} \rangle = \frac{1}{V} \int_V \nabla \cdot \mathbf{a} dV = \frac{1}{V} \int_{\partial V} \mathbf{a} \cdot \mathbf{n} dS \approx$$

$$\approx \frac{1}{V} \sum_f \mathbf{a}_f \cdot \mathbf{n} dS = \frac{1}{V} \sum_f \mathbf{a}_f \cdot \mathbf{S}_f = \frac{1}{V} \sum_f \varphi$$

$$\frac{\partial a}{\partial \mathbf{n}} \approx \frac{a_n - a_0}{h}$$

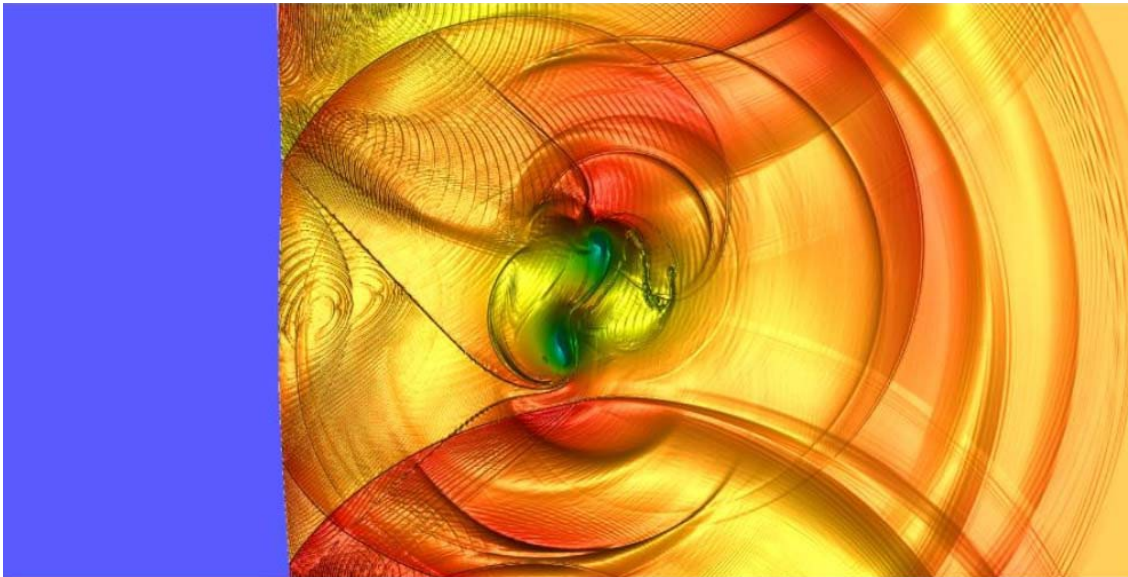


В настоящее время солверы QGDFoam и QHDFoam для моделирования течений вязкой жидкости реализованы на 3D неструктурированных сетках, распараллелен, выложен на github.

Можно пользоваться.

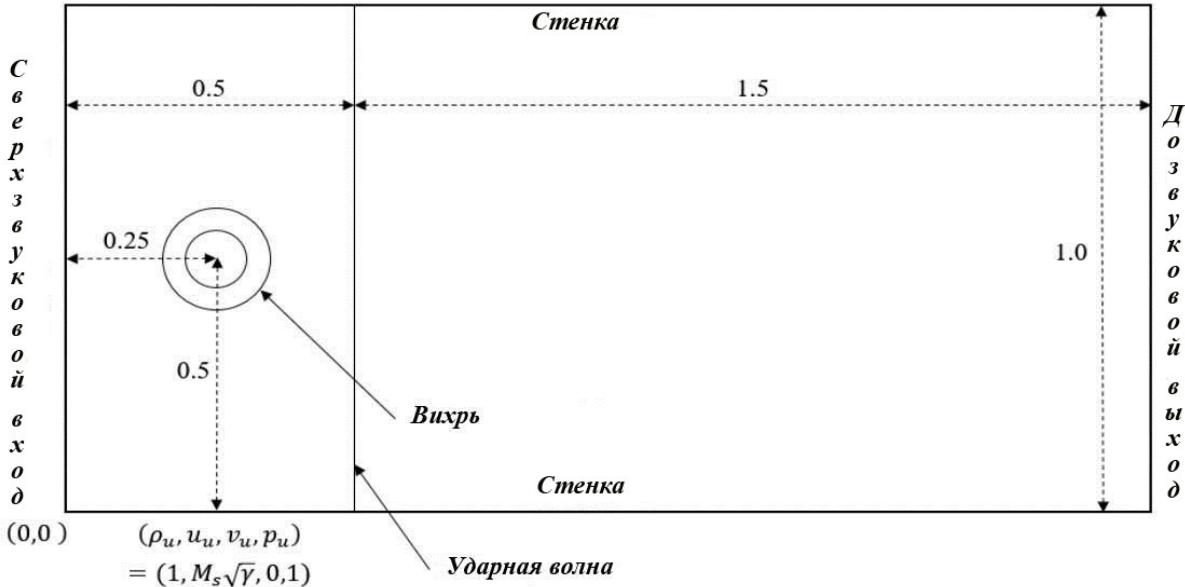
# Задача о взаимодействии вихря и ударной волны

Rodionov A.V. Simplified artificial viscosity approach for curing the shock instability // Computers and Fluids 219 (2021) 104873



$$Sch = \ln(1 + |\rho|) / \ln(10)$$

# Постановка задачи



Размер области 2\*1

# Задание ударной волны

$$\gamma = 1.4, R = 1$$

Слева

$$x \leq 0.5$$

$$\rho_u = 1$$

$$M_s = 1.5$$

$$u_u = M_s \sqrt{\gamma} =$$

$$1.77482$$

$$v_u = 0$$

$$p_u = 1$$

$$T_u = p_u / (\rho R) = 1$$

Справа

$$x > 0.5$$

$$\rho_d = \rho_u (\gamma + 1) M_s^2 / (2.0 + (\gamma - 1) M_s^2) = 1.862$$

$$u_d = u_u (2.0 + (\gamma - 1) M_s^2) / ((\gamma + 1) M_s^2) = 0.953146$$

$$v_d = 0,$$

$$p_d = p_u (1 + 2\gamma (M_s^2 - 1) / (\gamma + 1)) = 2.45833$$

$$T_d = p_d / (\rho_d R) = 1.32022$$

# Задание вихря

Центр вихря в  $(0.25, 0.5)$

Радиусы  $a = 0.075$ ,  $b = 0.175$

Параметры вихря  $M_v = 0.9$ ,  $v_m = M_v \sqrt{\gamma}$

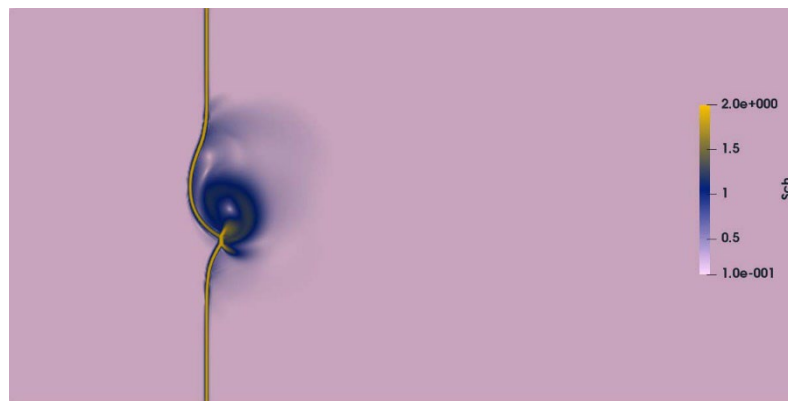
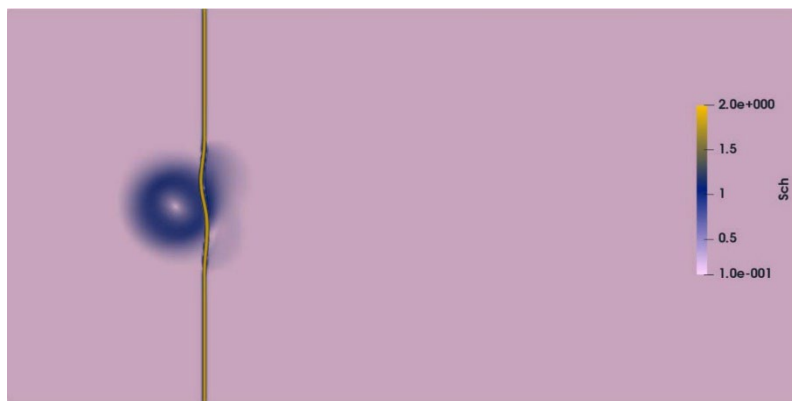
Поле скорости внутри вихря  $(u_{vor}^x, u_{vor}^y)$

$u_{vor}^x(r) = u_u - v_\theta(r) \sin(\theta)$ ,  $u_{vor}^y(r) = v_u + v_\theta(r) \cos(\theta)$

$$v_\theta(r) = \begin{cases} v_1 = v_m \frac{r}{a}, r \leq a, \\ v_2 = v_m \frac{a}{a^2 - b^2} \left( r - \frac{b^2}{r} \right), a < r \leq b, \\ 0, r > b. \end{cases}$$

# Результаты расчета. Сетка

Развитие течения (Schlieren), слева-направо, при  $t=0.1, 0.2$ .



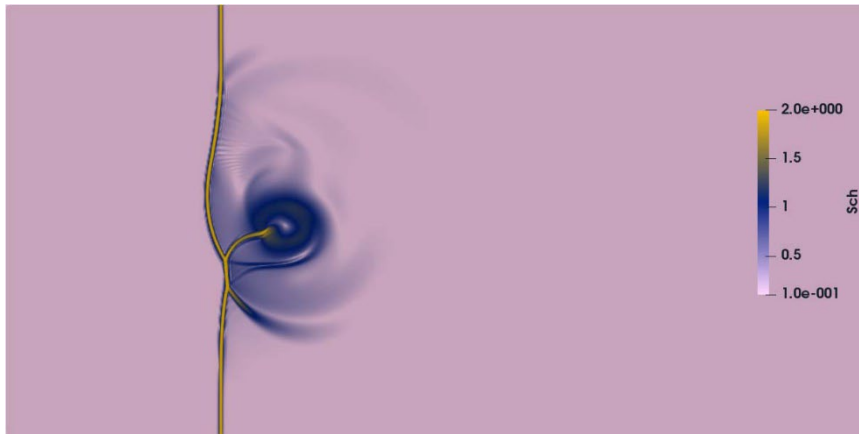
$$1/400$$

$$\alpha = 0.5$$

$$Sc = 0.0$$

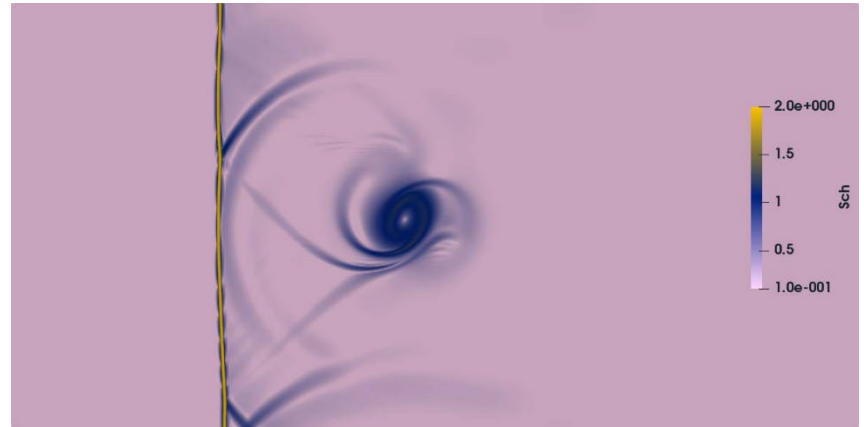
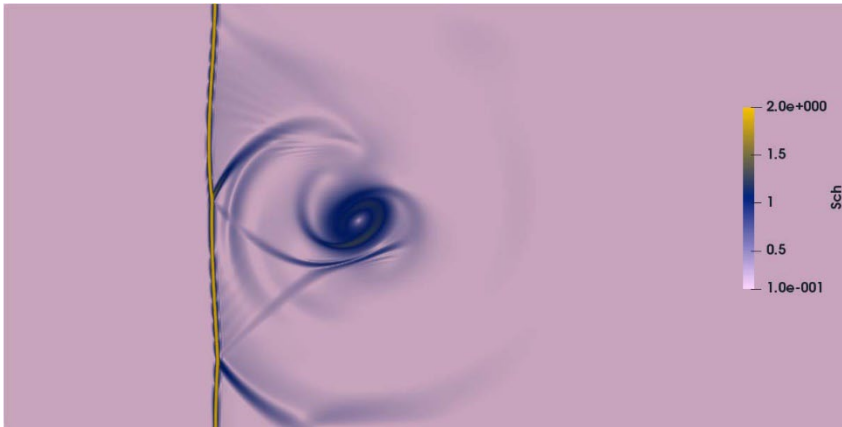
# Результаты расчета

Развитие течения (Schlieren), слева-направо, при  $t=0.3, 0.4$ .



# Результаты расчета

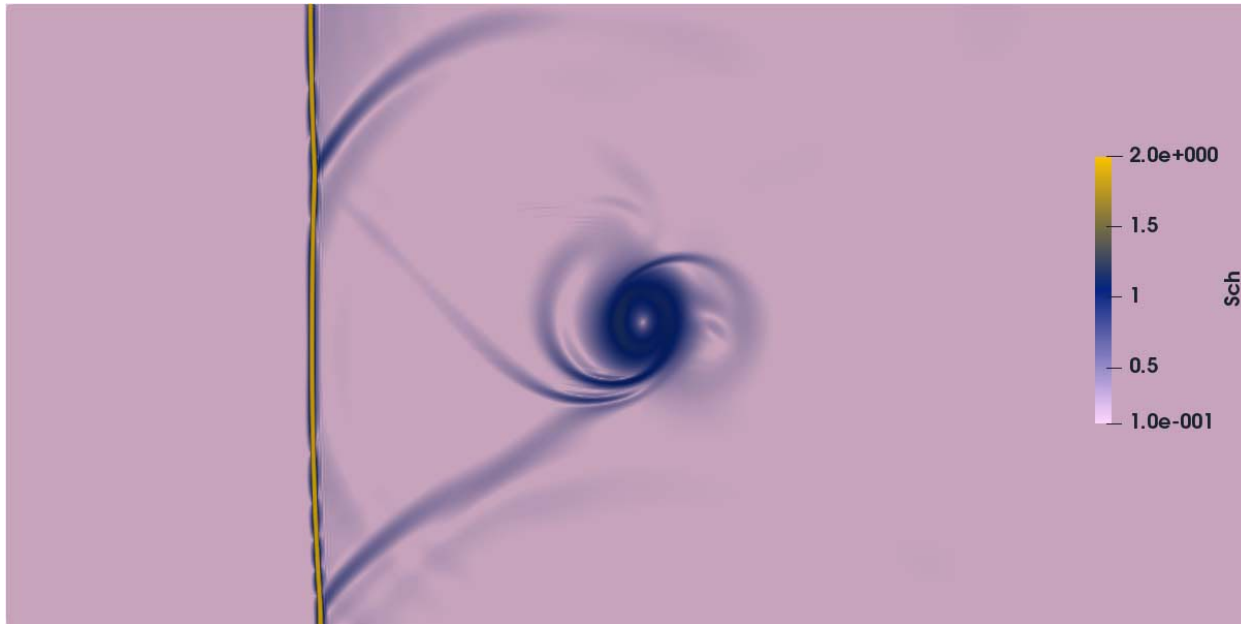
Развитие течения (Schlieren), слева-направо, при  $t=0.5$ ,  $0.6$ .





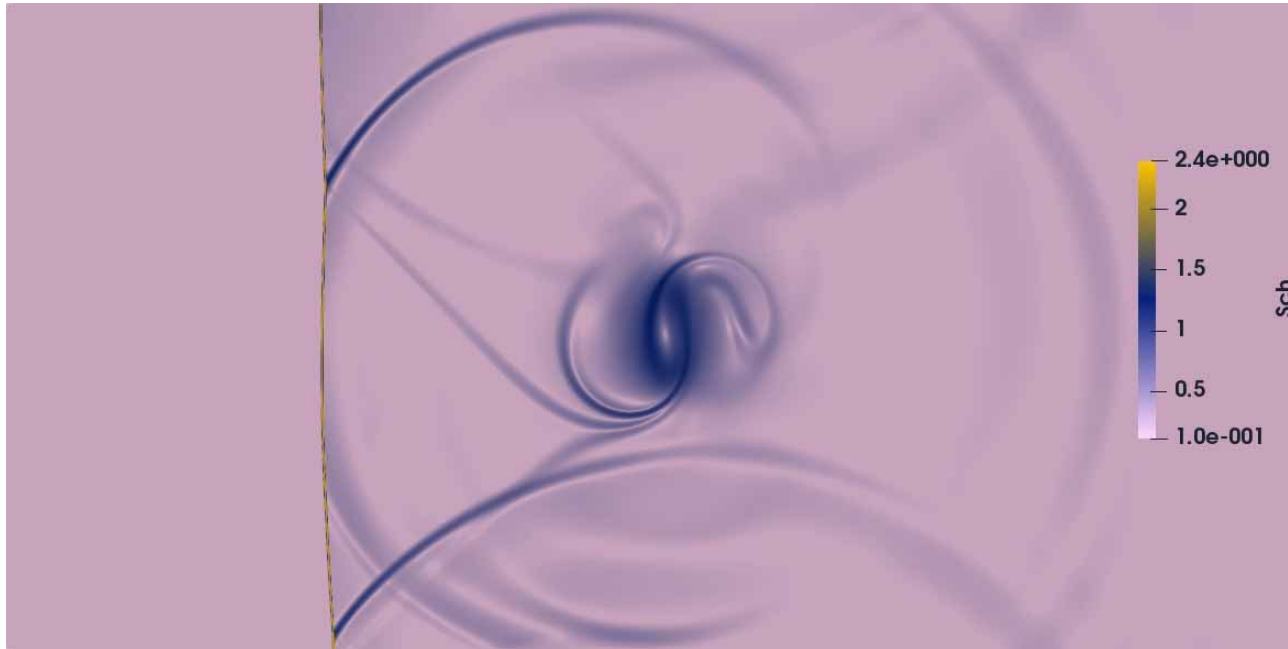
# Результаты расчета

Развитие течения (Schlieren), слева-направо, при  $t=0.7$ .



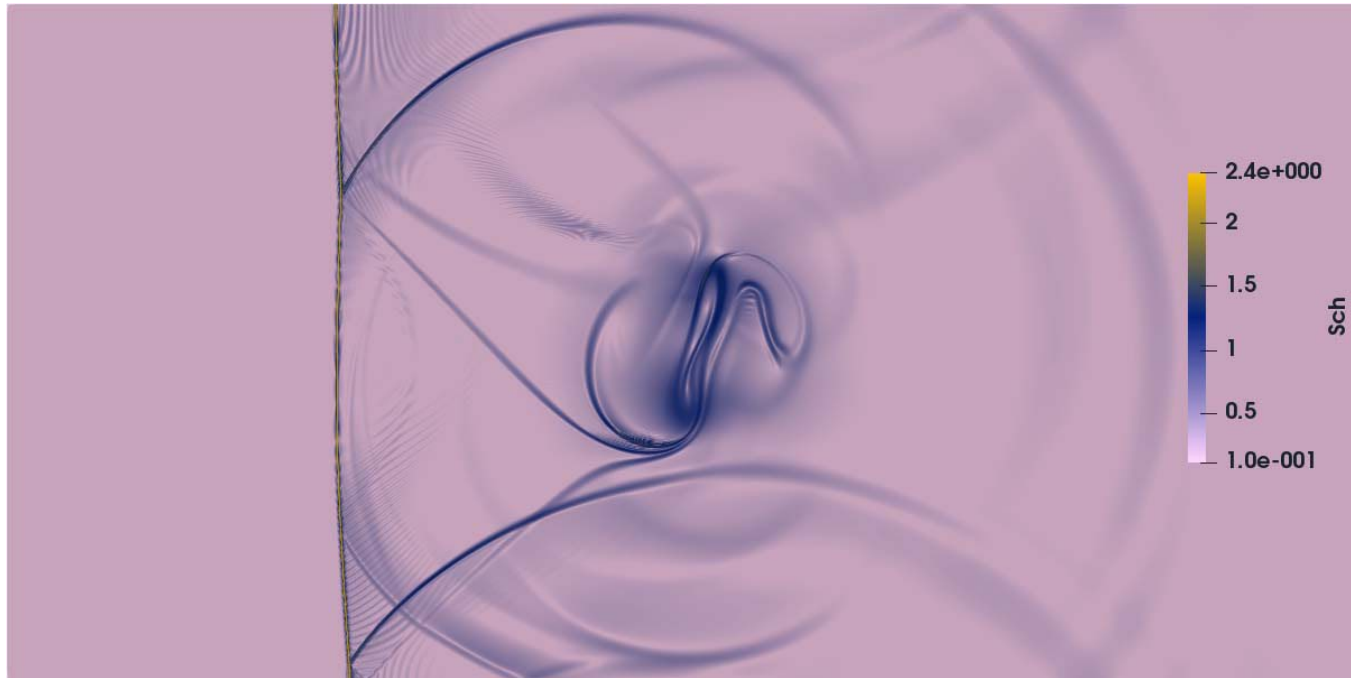
# Результаты расчета. Сетка 1/1600

$$\alpha = 0.2, \quad Sc = 1.0$$



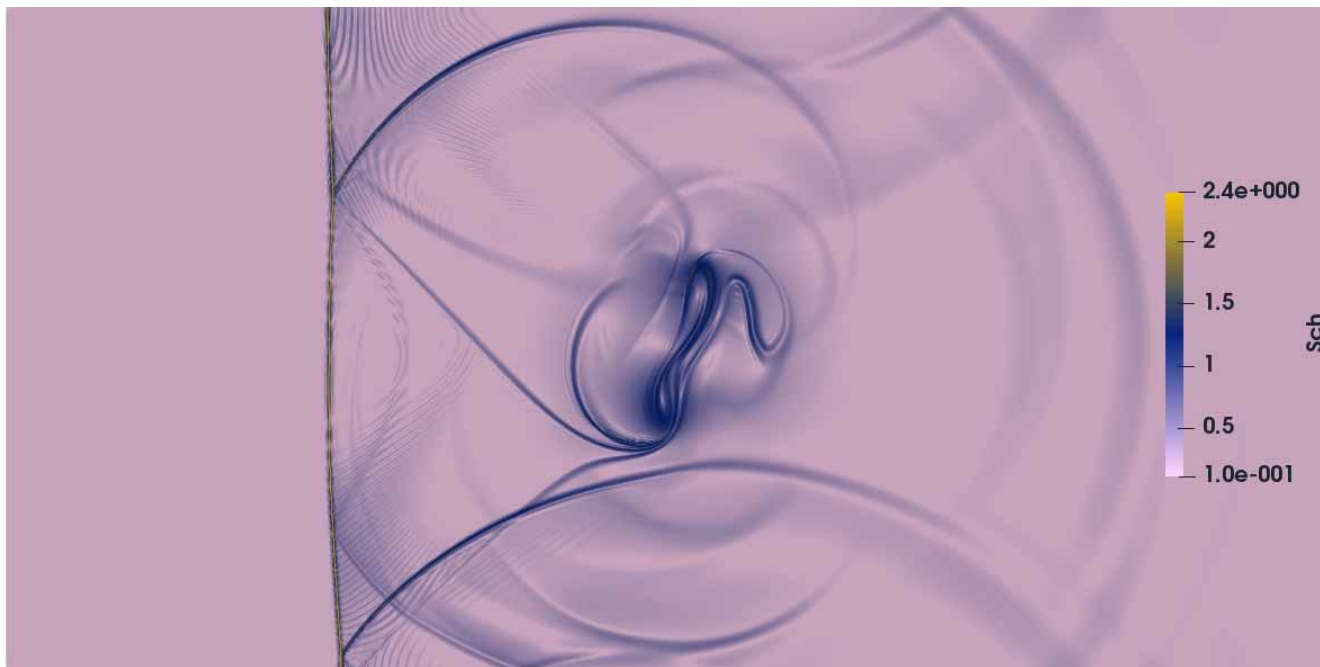
# Результаты расчета. Сетка 1/1600

$$\alpha = 0.2, \quad Sc = 0.0$$



# Результаты расчета. Сетка 1/1600

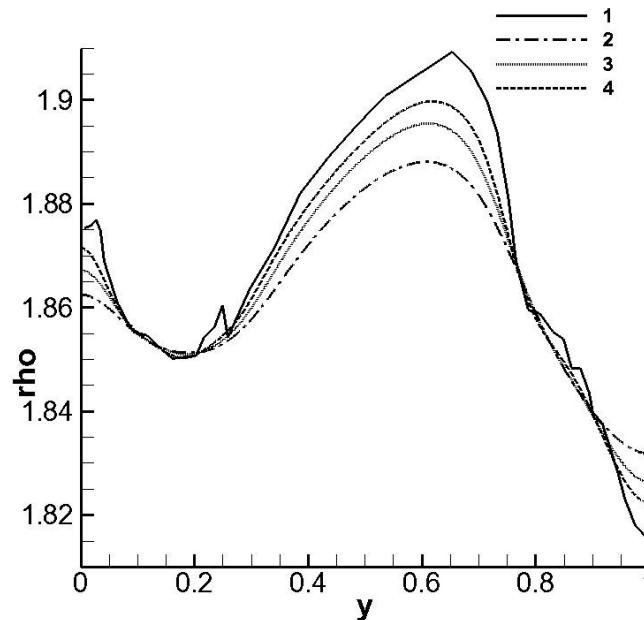
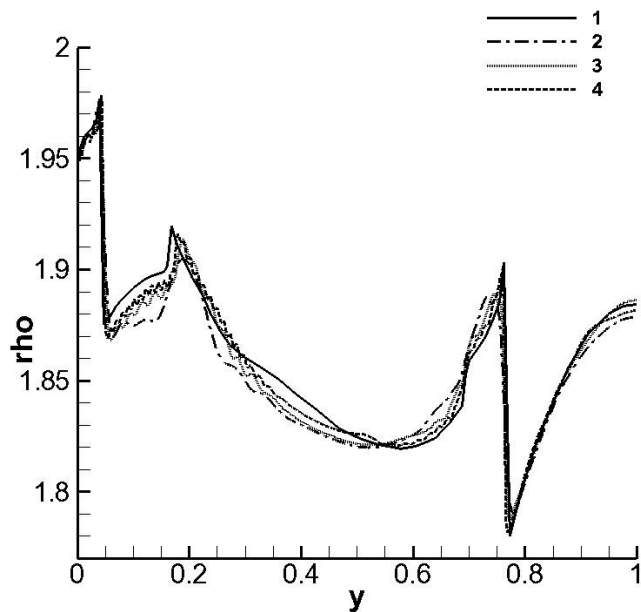
$$\alpha = 0.1, \quad Sc = 0.1$$



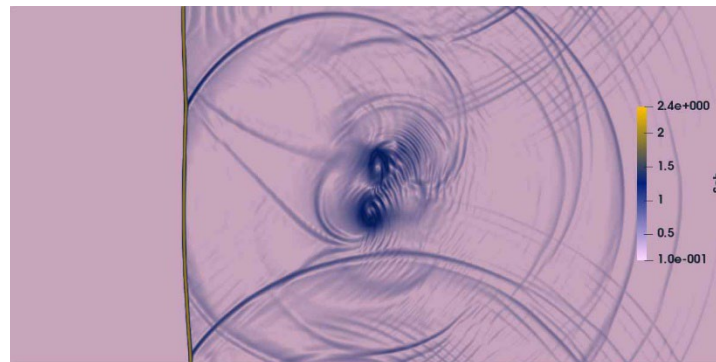
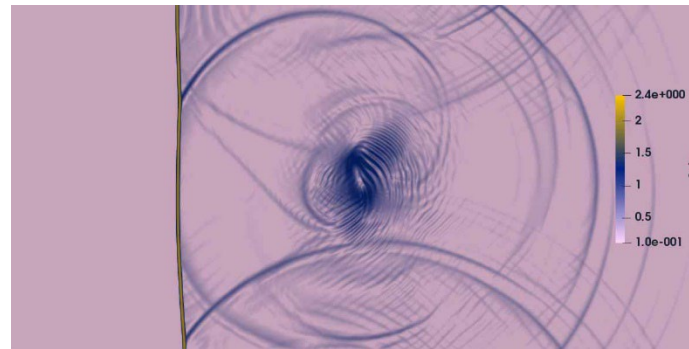
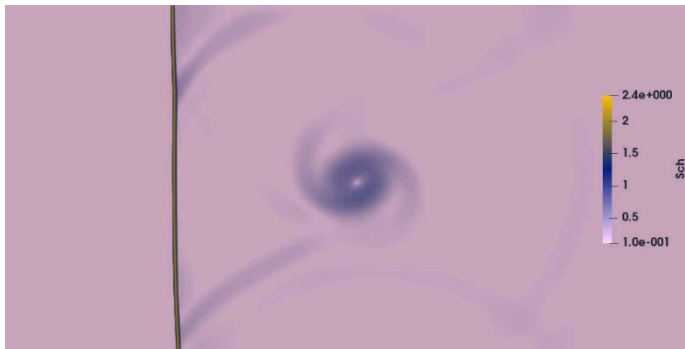
# Результаты расчета. Сходимость по сетке

$$\alpha = 0.2, \quad Sc = 0.0$$

Плотность  $\rho$  вдоль линий 0.52 и 1.65 для пространственных сеток с шагами 1/400 (2), 1/800 (3), 1/1600 (4), 1 – эталонное решение.



# Результаты расчета. Сетка 1/400, решатели с ограничителями upwind, Minmod и VanLeer.



# Зависимость времени решения задачи для разных алгоритмов

Personal research code (КГД)	QGDFoam	rhoCentralFoam VanLeer	rhoCentralFoam Minmod	rhoCentralFoam upwind
9.0	18.3	10.9	10.0	6.2

Времена расчета 1000 шагов на сетке 800\*400.

# КГД система (одножидкостная модель – общая скорость и температура)

Е.В. Шильников, Т.Г. Елизарова Квазигазодинамическая модель и численный алгоритм для описания смесей разнородных флюидов // ЖВМиМФ, 2023, № 7,

$$\frac{\partial \rho_a}{\partial t} + \operatorname{div}(\rho_a(\mathbf{u} - \hat{\mathbf{w}})) = \nabla(\tau \mathbf{u} \cdot \nabla(\rho_a \mathbf{u}))$$

$$\frac{\partial \rho_b}{\partial t} + \operatorname{div}(\rho_b(\mathbf{u} - \hat{\mathbf{w}})) = \nabla(\tau \mathbf{u} \cdot \nabla(\rho_b \mathbf{u}))$$

$$\frac{\partial \rho \mathbf{u}}{\partial t} + \operatorname{div}(\rho(\mathbf{u} - \mathbf{w}) \otimes \mathbf{u}) + \nabla p = \operatorname{div} \Pi + (\rho - \tau \operatorname{div}(\rho \mathbf{u})) \mathbf{F},$$

$$\frac{\partial E}{\partial t} + \operatorname{div}((E + p)(\mathbf{u} - \mathbf{w})) = -\operatorname{div} \mathbf{q} + \operatorname{div}(\Pi \cdot \mathbf{u}) + \rho(\mathbf{u} - \mathbf{w}) \cdot \mathbf{F} + Q$$

КГД добавки

$$\mathbf{w} = \hat{\mathbf{w}} + \frac{\tau}{\rho} \mathbf{u} \nabla(\rho \mathbf{u}), \quad \hat{\mathbf{w}} = \frac{\tau}{\rho} (\rho(\mathbf{u} \nabla) \mathbf{u} + \nabla p - \rho \mathbf{F})$$

$$\Pi = \Pi_{\text{NS}} + \rho \mathbf{u} \otimes \hat{\mathbf{w}} + \tau(\mathbf{u} \nabla p + \gamma p \operatorname{div} \mathbf{u} - (\gamma - 1)Q),$$

$$\mathbf{q} = \mathbf{q}_{\text{NS}} - \tau \rho \mathbf{u} \left( \mathbf{u} c_V \nabla T + p(\mathbf{u} \nabla) \left( \frac{1}{\rho} \right) - \frac{Q}{\rho} \right), \quad \tau = \frac{\mu}{\rho} = \alpha \frac{h}{c}$$



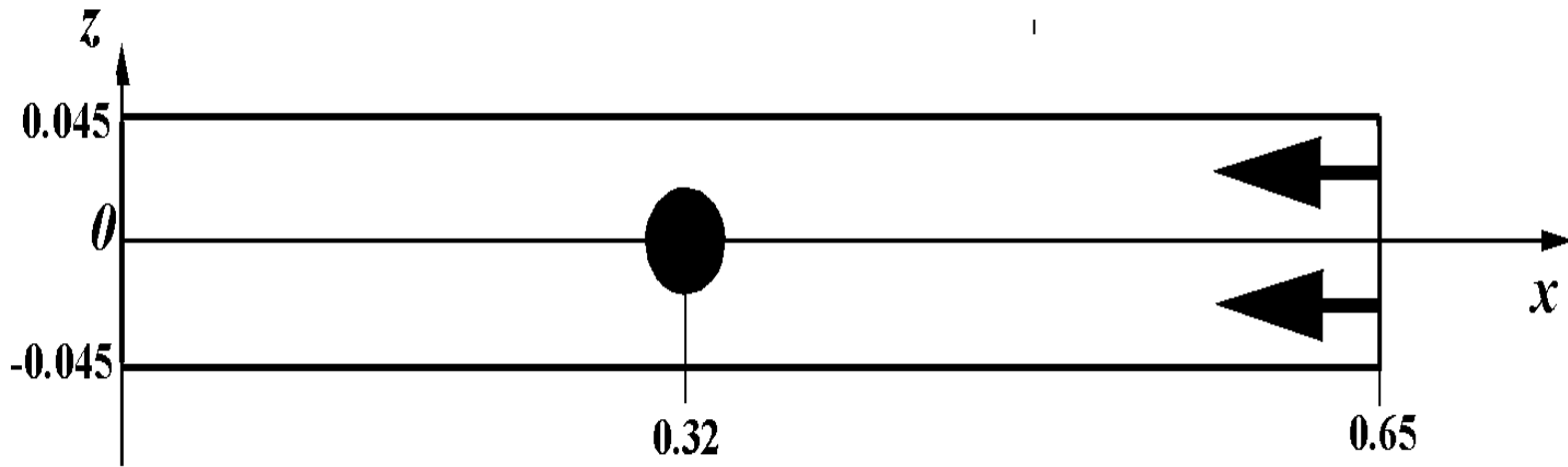
**In the one-fluid model it is assumed that the gas mixture has a uniform velocity  $u$  and temperature  $T$ . The density of the mixture, its pressure specific energy and other parameters are determined through the parameters of mixture components as follows:**

$$\rho = \rho_a + \rho_b, \quad p = p_a + p_b, \quad E = \rho\varepsilon + \rho\mathbf{u}^2/2,$$

$$R = \frac{R_a\rho_a + R_b\rho_b}{\rho} = c_p - c_v, \quad \gamma = \frac{c_p}{c_v}, \quad \gamma - 1 = \frac{R}{c_v},$$

$$\varepsilon = \frac{\varepsilon_a\rho_a + \varepsilon_b\rho_b}{\rho}, \quad c_v = \frac{c_{va}\rho_a + c_{vb}\rho_b}{\rho}.$$

# Моделирование взаимодействия плоской ударной волны, движущейся в воздухе, с цилиндрическим пузырем другого газа

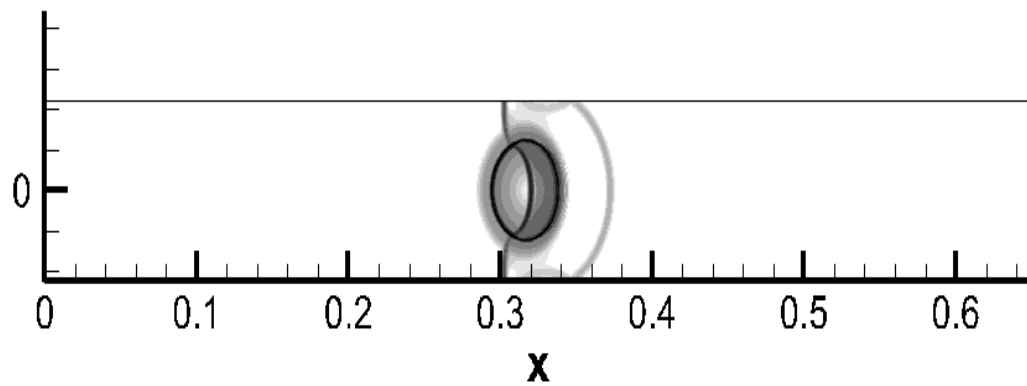


Плоская ударная волна, проходя через воздух, падает на цилиндрический пузырек из гелия или хладагента R22 ( $\text{CHClF}_2$ ). Пузырек с радиусом  $R = 0.025$  помещается в воздух с центром пузырька в точке  $(0.32, 0)$ .

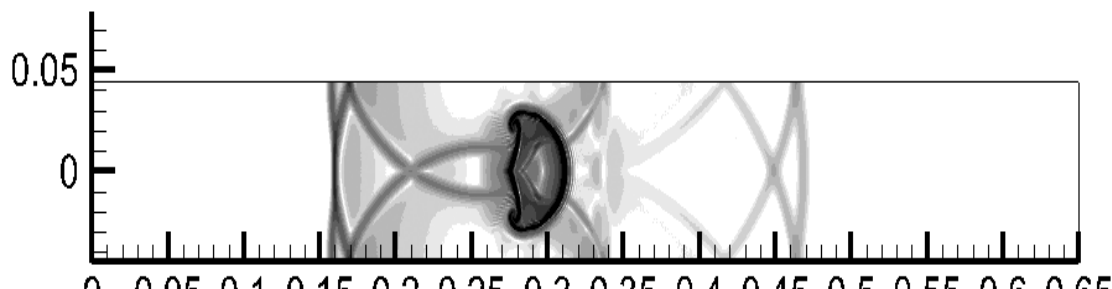
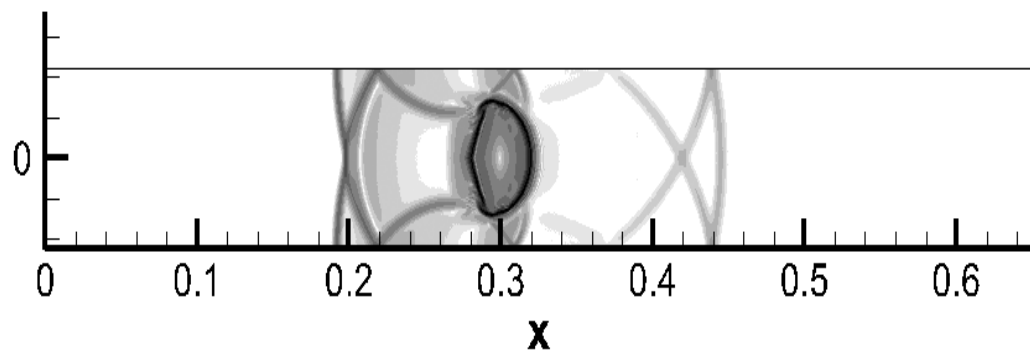
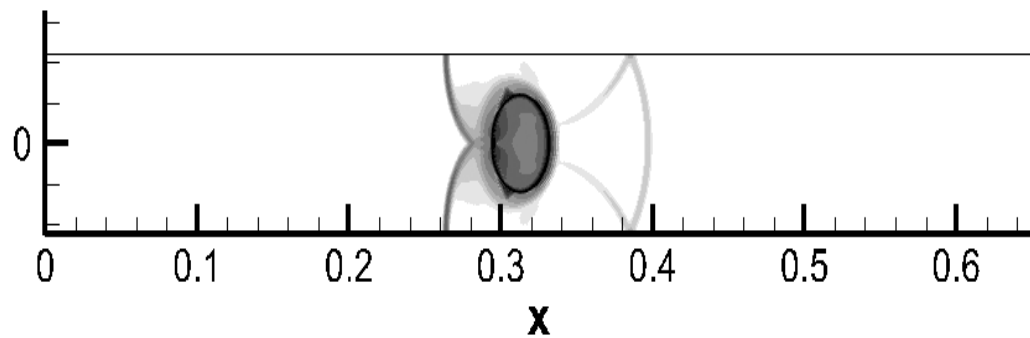
# Начальные динамически равновесные параметры газов в расчетной области

	$\rho$	$u$	$v$	$p$	$\gamma$	$m$	$R$	$c_s$
Воздух	1.0	0.0	0.0	$10^5$	1.4	28.96	287.1	374.16
Гелий	0.182	0.0	0.0	$10^5$	5/3	4.003	2077	915.75
R22	3.1538	0.0	0.0	$10^5$	1.249	86.47	96.15	199.0

На правой границе задается условие притока воздуха с параметрами за ударной волной, движущейся справа налево через воздух со скоростью, соответствующей числу Маха  $M = 1.22$ .



Пузырь R22.  
Численные Шлирен образы в  
последовательные моменты  
времени

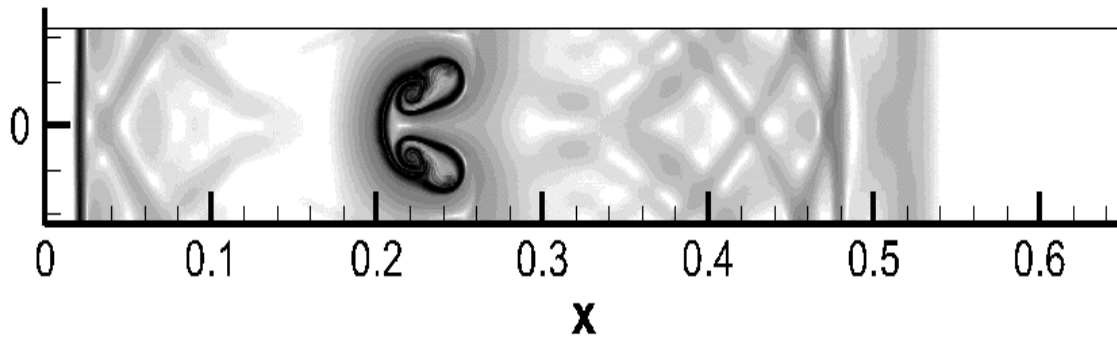
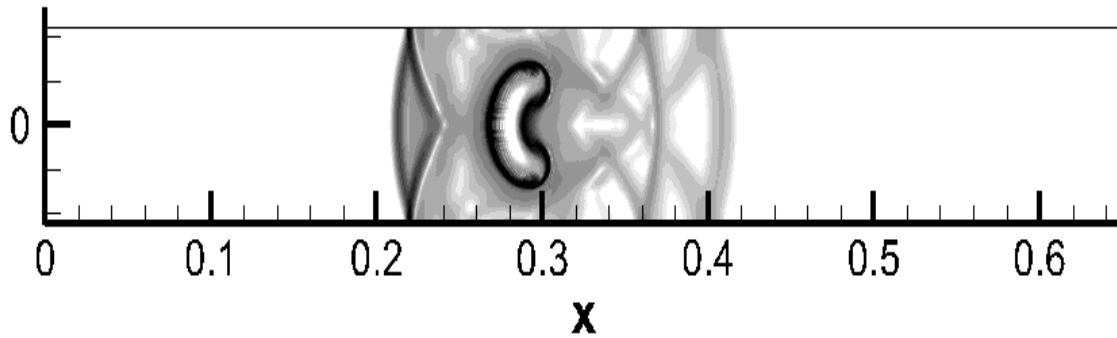
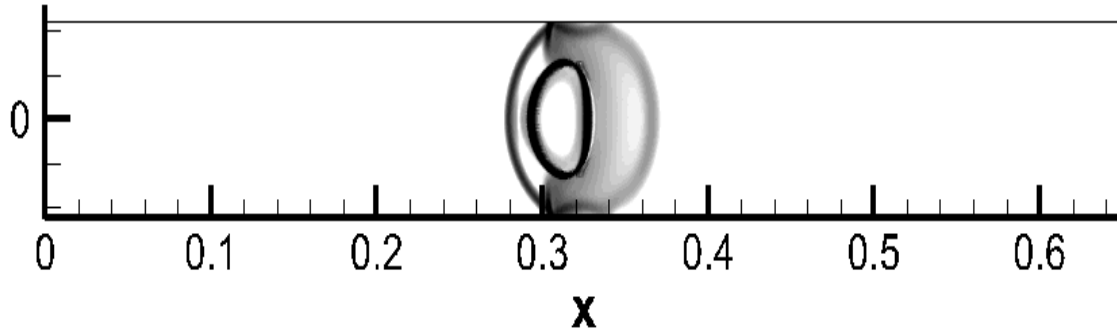
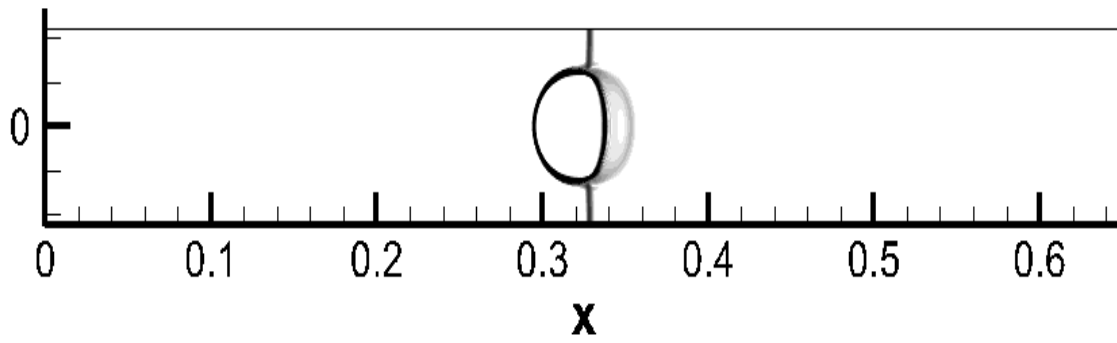


Сравнение формы пузырька в последний момент времени, полученное в наших расчетах (слева), с численными (в середине \*) и экспериментальными (справа \*\*) результатами.



\* Quirk J., Karni S. On the dynamics of a shock-bubble interaction // Journal of Fluid Mechanics, 1996, 318, p.129-163

\*\* Haas J.F., Sturtevant B. Interaction of weak shock waves with cylindrical and spherical gas inhomogeneities // Journal of Fluid Mechanics, 1987, 181, p.41-76

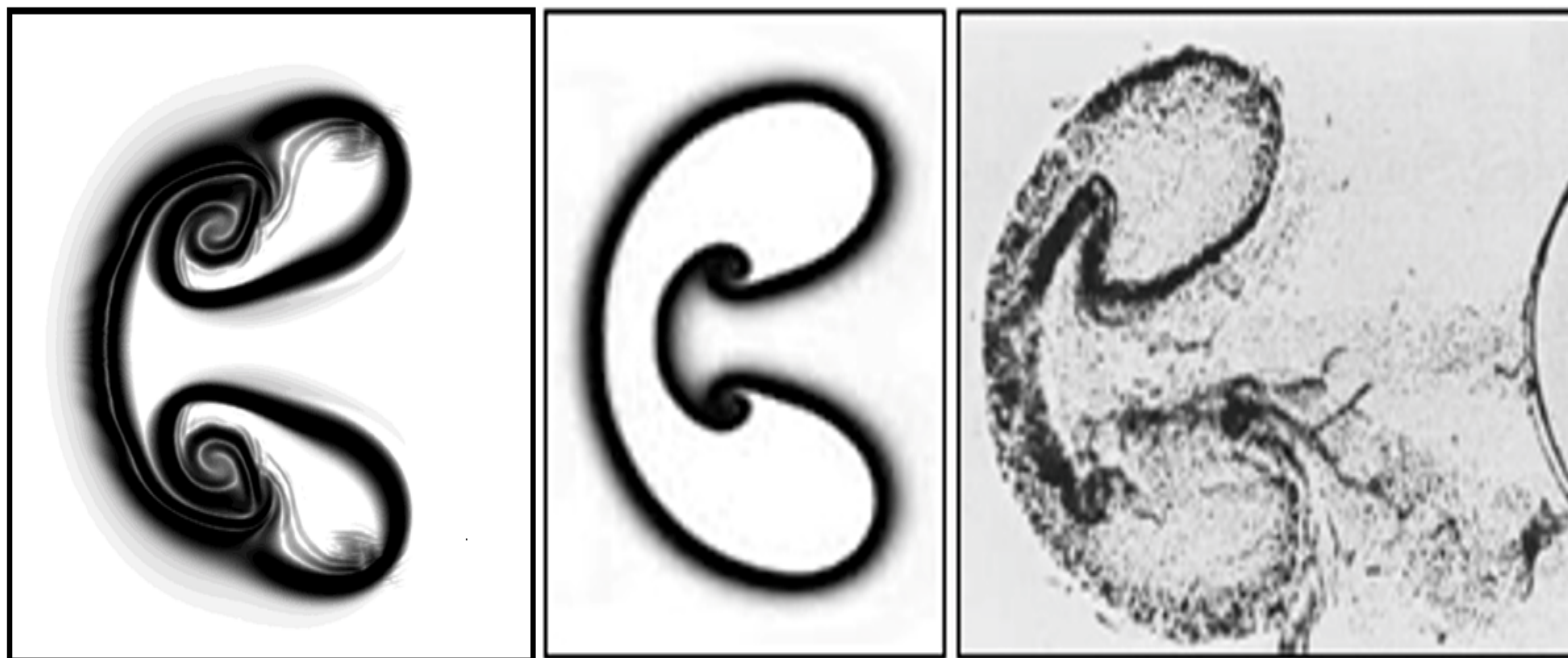


Пузырь He.

Численные Шлирен образы в  
последовательные моменты  
времени.

В отличие от предыдущего  
случая отраженная волна  
здесь является не ударной  
волной, а волной разрежения.

Сравнение формы пузырька в последний момент времени, полученное в наших расчетах (слева), с численными (в середине \*) и экспериментальными (справа \*\*) результатами



\* Quirk J., Karni S. On the dynamics of a shock-bubble interaction // Journal of Fluid Mechanics, 1996, 318, p.129-163

\*\* Haas J.F., Sturtevant B. Interaction of weak shock